

б  
Е - 7/8

Министерство высшего и среднего специального образования СССР

Московское ордена Ленина, ордена Октябрьской Революции  
и ордена Трудового Красного Знамени  
высшее техническое училище им. Н. Э. Баумана

С. П. Еркович, Л. Н. Климов, Ю. В. Корнев

Утверждены  
редсоветом МВТУ

ИЗУЧЕНИЕ ЯВЛЕНИЯ ДИСПЕРСИИ СВЕТА  
С ПОМОЩЬЮ МОНОХРОМАТОРА

Методические указания к лабораторной работе 0—6  
по общему курсу физики

Под редакцией Л. К. Мартинсона

Москва

1981

Цель работы – изучение явления дисперсии света и знакомство с качественным анализом линейчатых спектров при помощи монохроматора.

### Теоретическая часть

Дисперсией света называется зависимость фазовой скорости гармонической световой волны от частоты или длины волны. Так как фазовая скорость  $V$  света в среде связана с коэффициентом преломления  $n$  и со скоростью света  $C$  в вакууме соотношением  $V = C/n$ , то, следовательно, дисперсия света наблюдается в среде, показатель преломления которой зависит от частоты, т.е.  $n = n(\omega)$ . Дисперсия света свойственна всем веществам. В тех областях спектра, в которых данное вещество прозрачно, наблюдается увеличение показателя преломления с увеличением частоты света, т.е.  $\frac{dn}{d\omega} > 0$  (нормальная дисперсия).

Вблизи тех областей спектра, где вещество сильно поглощает свет, происходит усиление дисперсии света, а в полосах поглощения наблюдается обратный ход дисперсии, т.е. уменьшение показателя преломления с увеличением частоты, или  $\frac{dn}{d\omega} < 0$  (аномальная дисперсия).

Механизм возникновения дисперсии света может быть выяснен на примере распространения света в среде, содержащей электроны, которые удерживаются в положении равновесия квазиупругими силами и, кроме того, испытывают со стороны среды силы, аналогичные силам трения. В какой-то мере подобными свойствами обладают электроны в молекулах диэлектриков. Такая среда поляризуется в электрическом поле. При этом вектор поляризации  $\vec{P}$ , равный электрическому дипольному моменту единицы объема среды, пропорционален напряженности поля  $E$ , вызывающего поляризацию

$$\vec{P} = \epsilon_0 \chi \vec{E}. \quad (1)$$

Здесь  $\epsilon_0$  – электрическая постоянная,  $\chi$  – коэффициент, называемый диэлектрической восприимчивостью вещества.

Показатель преломления определяется через диэлектрическую проницаемость вещества

$$n = \sqrt{\epsilon}.$$

Так как  $\epsilon = 1 + \chi$ , то

$$n^2 = 1 + \chi. \quad (2)$$

Подставляя сюда  $\chi$  из соотношения (1), получим

$$n^2 = 1 + \frac{P}{\epsilon_0 E}. \quad (3)$$

Модуль вектора поляризации можно вычислить как сумму дипольных моментов всех  $N$  молекул единицы объема:

$$P = Np = Ne\mathbf{x}, \quad (4)$$

где  $e$  - заряд электрона;

$\mathbf{x}$  - смещение электрона от положения равновесия.

Для вычисления  $P$  предварительно найдем уравнение движения электрона под действием электрического поля гармонической световой волны с амплитудой  $E_m$  и частотой  $\omega$ .

На электрон молекулы диэлектрика кроме силы, вызванной напряженностью поля световой волны  $F_1 = eE_m e^{i\omega t}$ , будут

действовать квазиупругая сила  $F_2 = -Kx$  (где  $K$  - коэффициент упругости) и сила трения  $F_3 = -2\beta\dot{x}$ , вызванная взаимодействием колеблющегося электрона с окружающей средой ( $\gamma$  - коэффициент сопротивления). На основании второго закона Ньютона

$$m\ddot{x} = -Kx - 2\beta\dot{x} + eE_m e^{i\omega t}$$

или

$$\ddot{x} + 2\beta\dot{x} + \omega_0^2 x = \frac{eE_m}{m} e^{i\omega t}, \quad (5)$$

где  $\beta = 2/2m$  - коэффициент затухания;  $\omega_0 = \sqrt{K/m}$  - собственная циклическая частота колебаний упруго связанного электрона.

Умножим обе стороны равенства (5) на  $eN$ . В результате этого, учитывая (4), получим

$$\ddot{P} + 2\beta\dot{P} + \omega_0^2 P = \frac{Ne^2 E_m}{m} e^{i\omega t}. \quad (6)$$

Решение этого уравнения будем искать в виде

$$P = P_m e^{i\omega t}. \quad (7)$$

Для вычисления амплитудного значения  $P_m$  подставим (7) в уравнение (6), взяв предварительно производные

$$\dot{P} = i\omega P_m e^{i\omega t}; \quad \ddot{P} = -\omega^2 P_m e^{i\omega t}.$$

Получим

$$-\omega^2 P_m e^{i\omega t} + 2\beta i\omega P_m e^{i\omega t} + \omega_0^2 P_m e^{i\omega t} = \frac{Ne^2 E_m}{m} e^{i\omega t},$$

откуда

$$\frac{P}{E} = \frac{P_m}{E_m} = \frac{Ne^2}{m(\omega_0^2 - \omega^2 + 2\beta i\omega)}.$$

Подставив это в соотношение (3) для показателя преломления, находим

$$n^2 = 1 + \frac{Ne^2}{\epsilon_0 m(\omega_0^2 - \omega^2 + 2\beta i\omega)}. \quad (8)$$

В области спектра, где вещество прозрачно, коэффициент  $\beta$  мал, и поэтому мнимую часть в знаменателе можно отбросить. Тогда

$$n^2 = 1 + \frac{Ne^2}{\epsilon_0 m(\omega_0^2 - \omega^2)}.$$

Эта зависимость  $n$  от  $\omega$  представлена на рис. 1 сплошной кривой. Дисперсия сильно увеличивается приближении  $\omega$  к  $\omega_0$ . Уходящие в бесконечность ветви кривой соответствуют бесконечно большой амплитуде колебаний электрона при резонансной частоте  $\omega_c$ .

Если принять во внимание силы трения, то амплитуда окажется конечной и показатель преломления будет иметь ход, представленный на рис. 1 штриховой линией. Вблизи частоты  $\omega = \omega_0$  при этом имеет место аномальная дисперсия  $\frac{dn}{d\omega} < 0$ .

Покажем, что вблизи резонансной частоты  $\omega_0$  наблюдается сильное поглощение света.

Если  $\beta \neq 0$ , то по формуле (8) показатель преломления должен быть комплексным. Запишем его в виде

$$n = n' - i n''.$$

Физический смысл мнимой части показателя преломления выясним, подставив его в уравнение плоской монохроматической световой волны

$$E(z, t) = E_m e^{i(\omega t - kz)}, \quad (9)$$

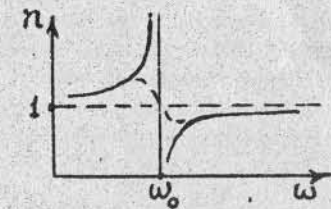


Рис. 1

В этом выражении в показатель экспоненты входит волновое число  $K = 2\pi/\lambda_{вещ}$ , где  $\lambda_{вещ}$  — длина световой волны в данном веществе, равная длине волны в вакууме  $\lambda$ , деленной на показатель преломления вещества  $n$ , т.е.  $K = \frac{2\pi n}{\lambda} = \frac{2\pi}{\lambda}(n' - i n'')$ . Подставляя это выражение для волнового числа в уравнение волны (9), получим

$$E(z,t) = E_m e^{i\omega t} e^{-i\frac{2\pi}{\lambda} n' z} e^{-\frac{2\pi}{\lambda} n'' z}.$$

Отсюда

$$E(z,t) = E_m e^{-\frac{2\pi}{\lambda} n'' z} e^{i(\omega t - \frac{2\pi}{\lambda} n' z)}. \quad (10)$$

Таким образом получено уравнение волны, амплитуда которой уменьшается по мере распространения в веществе. Следовательно, интенсивность света по мере прохождения слоев такого вещества должна убывать.

Интенсивность с точностью до коэффициента пропорциональности равна квадрату модуля функции  $E(z,t)$ :

$$I = E(z,t) \cdot E^*(z,t) = E_m^2 e^{-\frac{4\pi}{\lambda} n'' z}$$

или

$$I = I_0 e^{-\mu z}, \quad (11)$$

где  $\mu = 4\pi n''/\lambda$

— коэффициент поглощения.

Формула (11) выражает закон поглощения света, открытый экспериментально в 1729 г. П. Бугером и получивший название закона Бугера. На рис. 2 приведена зависимость интенсивности света от глубины его проникновения в вещество для двух различных веществ с различными коэффициентами поглощения  $M_1$  и  $M_2$ , причем  $M_2 > M_1$ . В веществах с большим коэффициентом поглощения свет сильно ослабляется по мере проникновения в вещество.

Для того чтобы найти зависимость коэффициента поглощения  $\mu$  от частоты света  $\omega$ , нужно в соотношение (8) вместо  $n$  подставить  $n' - i n''$  и затем в полученном равенстве отделить

4

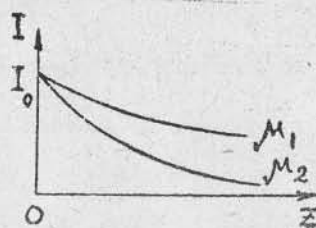


Рис. 2

минимую и действительную части. После преобразования получим

$$n' = 1 + \frac{Ne^2(\omega_0^2 - \omega^2)}{\epsilon_0 m [(\omega_0^2 - \omega^2)^2 + 4\omega^2 \beta^2]}; \quad (12)$$

$$n'' = \frac{Ne^2}{\epsilon_0 m} \cdot \frac{2\beta\omega}{(\omega_0^2 - \omega^2)^2 + 4\omega^2 \beta^2}. \quad (13)$$

Из выражения (13), учитывая, что  $\mu = 4\pi n''/\lambda$ , имеем

$$\mu = \frac{4\pi Ne^2}{\epsilon_0 m \lambda} \cdot \frac{2\beta\omega}{(\omega_0^2 - \omega^2)^2 + 4\beta^2 \omega^2}. \quad (14)$$

Из этой формулы следует, что коэффициент поглощения является функцией частоты, имеющей резкий максимум вблизи резонансной частоты  $\omega_0$ .

Поскольку по соотношению (10) величина  $n'$  играет роль обычного показателя преломления, в дальнейшем будем обозначать  $n' = n$ .

На рис. 3 графически изображена зависимость коэффициента поглощения  $\mu$  от частоты света. На том же рисунке приведен график зависимости  $n$  от  $\omega$ , построенный по формуле (12). Из этого рисунка видно, во-первых, что вблизи резонансной частоты имеет место сильное поглощение света (полоса поглощения) и, во-вторых, что аномальная дисперсия  $\frac{dn}{d\lambda} < 0$  наблюдается в области полосы поглощения.

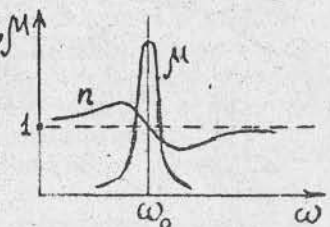


Рис. 3

Дисперсия света в таких прозрачных средах, как стекло или кварц, с помощью изготовленных из них призм используется в различных спектральных приборах в целях получения спектра длин волн  $\lambda$ , излучаемых исследуемым источником света. В связи с этим в спектроскопии принято характеризовать дисперсию спектра величиной  $\frac{dn}{d\lambda}$ . При нормальной дисперсии  $\frac{dn}{d\lambda} < 0$ , при аномальной  $\frac{dn}{d\lambda} > 0$ . Вещество призм обычно обладает нормальной дисперсией, и зависимость показателя преломления  $n = n(\lambda)$  для них такова, что значение дисперсии  $|\frac{dn}{d\lambda}|$  воз-

растает с уменьшением длины волны проходящего через них света. Поэтому призменный спектр в отличие от спектра, получаемого с помощью дифракционной решетки, неравномерен, т.е. две красные линии призменного спектра расположены ближе друг к другу, чем две фиолетовые, имеющие ту же разность длин волн, что и две красные.

### Экспериментальная часть

Для проведения качественного анализа линейчатых спектров в данной работе используется монохроматор (призменный спектрометр УМ-2), оптическая схема которого представлена на рис. 4, а общий вид - на рис. 5.

Монохроматор служит для разложения света в спектр и для выделения узкого монохроматического лучка света. Он состоит из коллиматора 1, призменного устройства  $\Pi$  с поворотным механизмом 8, отсчетного устройства 9 и зрительной трубы 13 (см. рис. 4 и 5).

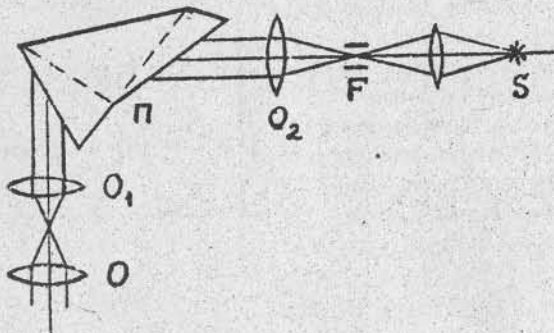


Рис. 4

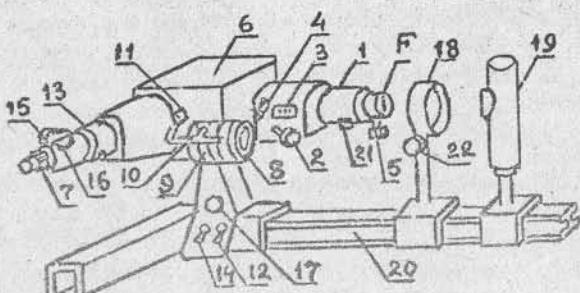


Рис. 5

Коллиматор имеет входную щель  $F$  и объектив  $O_2$ , находящийся внутри коллиматорной трубы. Положение объектива  $O_2$  может изменяться с помощью маховика 2 и фиксируется по шкале 3, освещаемой лампочкой 4. Ширина щели  $F$  регулируется вращением микрометрического винта 5.

Призменное устройство  $\Pi$  состоит из сложной призмы, закрытой кожухом 6 и установленной на столике, который приводится в движение с помощью поворотного механизма (барабана) 8.

Отсчетное устройство представлено в виде спиральной шкалы 9, нанесенной на барабан 8. Шкала 9 имеет относительные деления - градусы. Отсчет делений шкалы барабана производится против риски указателя 10, скользящего по специальной канавке барабана. Деления барабана и указатель 10 освещаются лампочкой 11, зажигаемой с помощью тумблера 12.

Ось барабана червячной передачей связана с шестерней столика, на котором расположена призма.

В зрительной трубе 13 находится объектив  $O_1$  и окуляр  $O$ . Последний может перемещаться вдоль оси зрительной трубы вращением винта 7. В поле зрения трубы 13 находится специальный визирный указатель в виде узкого треугольника с острой вершиной. Он подсвечивается лампочкой 15 с помощью тумблера 14; сила света этой лампочки устанавливается вращением регулятора 17. В системе освещения визирного указателя есть набор светофильтров, обеспечивающих ту или иную его окраску. Нужный светофильтр устанавливается поворотом диска 16.

Лучи света от источника  $S$  направляются на входную щель  $F$  монохроматора и превращаются объективом  $O_2$  в параллельный пучок, который падает на диспергирующую призму  $\Pi$ . Призма разлагает свет в спектр и направляет лучи света через объектив  $O_1$  в окуляр  $O$ . Поворачивая призму с помощью барабана 8, можно рассматривать через окуляр зрительной трубы 13 различные участки спектра.

### Выполнение эксперимента

- На рельс 20, параллельный коллиматору 1, против щели  $F$  устанавливают ртутно-кварцевую лампу ДРШ-250 (сверхвысокого давления, шаровую, 250 В) 19, защищенную кожухом, которая при возбуждении электрического разряда в ней дает свет с характерным линейчатым спектром ртути (см. рис. 4 и 5).

**ВНИМАНИЕ!** С ртутной лампой следует обращаться осторожно; давление в лампе 30 атм.

Таблица 1

$i$	Цвет линии	$\lambda_i$ - длина волны ( $\text{\AA}$ )	$L_i$ - показания шкалы барабана
1			
2			
$\vdots$			

7. По данным табл. 1 на миллиметровой бумаге в большом масштабе с помощью лекал строят градуировочную кривую для данного монохроматора  $\lambda = f(L)$ . Вдоль оси абсцисс откладывают показания шкалы барабана  $L_i$ , а вдоль оси ординат - соответствующие им длины волн  $\lambda_i$ . При этом в начале системы координат по оси ординат удобно поставить 4000  $\text{\AA}$  (400 нм), а по оси абсцисс - число, несколько меньшее, чем наименьший отсчет  $L_i$  по шкале барабана при наблюдении спектра ртути.

8. Выключив ртутную лампу 19 и установив на рельсе 20 между конденсором 18 и лампой 19 неизвестный источник света, подключают последний к источнику питания (во многих случаях питание берется непосредственно от сети, в других случаях - см. указания на установке).

9. Так же как и в п. 6, для всех наблюдаемых спектральных линий неизвестного источника находят показания шкалы барабана  $L'_i$  и вносят их в табл. 2.

Таблица 2

$i$	Цвет линии	$L'_i$ - показания шкалы барабана	$\lambda'_i$ - длина волны ( $\text{\AA}$ )
1			
2			
$\vdots$			

10. С помощью градуировочной кривой (найденной в п. 7) по значениям  $L'_i$  находят значения соответствующих длин волн неизвестного источника и также вносят их в табл. 2.

11. Сравнивая найденные длины волн  $\lambda'_i$  с длинами волн табл. 3, находят название химического элемента, излучающего свет в исследуемом источнике.

Примечание. Если длины волн спектральных линий  $\lambda'_i$  неизвестного источника не будут обнаружены в табл. 3, то необходимо воспользоваться более подробными таблицами спектральных линий (например [4]).

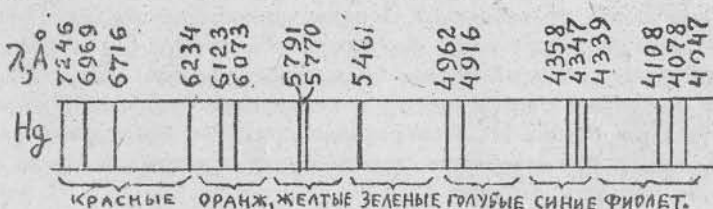


Рис. 6

Для каждой из этих линий с помощью указателя 10, расположенного у барабана 8, фиксируют соответствующие показания  $L_i$  шкалы 9. Результаты отсчетов вносят в табл. 1.

Примечание. Чтобы избежать влияния параллакса, прежде чем вращать барабан для совмещения очередной линии спектра с кончиком визирного указателя, надо поставить глаз перед окуляром в такое положение, чтобы была совмещенной с визирным указателем предыдущая линия, и затем, во время поворота барабана, положение глаза не менять.

Таблица 3

Длины волн в ангстремах ( $\text{\AA}$ )					
$A\gamma$ (аргон)	$K\gamma$ (криптон)	$N\gamma$ (неон)	$He$ (гелий)	$H$ (водород)	$Na$ (натрий)
5651	7602	7245	7281	6563	5896
5496	7587	7174	7065	4861	5890
4702	5871	7032	6878	4340	
4300	5570	6929	6560	4102	
4272	4766	6678	5876	3970	
4266	4789	6599	5016	3889	
4259	4659	6506	4922		
4200	4619	6402	4471		
4198	4355	6383	4121		
4191	4319	6334	3888		
4158	4274	6266			
4044		6217			
3949		6164			
		6143			
		6074			
		6030			
		5975			
		5945			
		5882			
		5852			
		5401			
		5003			

Литература

- Савельев И.В. Курс общей физики, т. 2. - М.: Наука, 1978.
- Еркович С.П., Арзамасова А.И. Методические указания по изучению раздела "Волновая оптика" в курсе общей физики. - М.: изд. МВТУ, 1979.
- Горячева К.Г. Изучение спектра атома водорода и определение постоянной Ридберга. - М.: изд. МВТУ, 1977.
- Зайдель А.Н., Прокофьев В.К. и др. Таблицы спектральных линий. - М.: Наука, 1977.

Контрольные вопросы

- Что называется нормальной и аномальной дисперсией?
- Какая формула выражает закон поглощения света в веществе?
- Какие лучи видимого спектра (красные или фиолетовые) имеют большую скорость в стекле?
- Изменится ли градуировочная кривая, найденная в п. 7 по спектру ртути, если она будет построена по спектру другого источника?
- В чем принципиальное различие призменного и дифракционного спектров?